

## پاسخ دفاع بیوشیمیایی خیار گلخانه‌ای (*Cucumis sativus* L.) به بیماری کمپلکس نماد ریشه‌گرهی و قارچ پژمردگی فوزاریومی

مهدی محمدیان سرچشم<sup>۱</sup>، سعید رضائی<sup>۱\*</sup>، علیرضا ایرانبخش<sup>۲</sup>

<sup>۱</sup>گروه گیاه‌پزشکی، دانشکده علوم کشاورزی و صنایع غذایی، واحد علوم و تحقیقات، دانشگاه آزاد اسلامی، تهران، ایران.

<sup>۲</sup>گروه زیست شناسی، واحد علوم و تحقیقات، دانشگاه آزاد اسلامی، تهران، ایران.

تاریخ دریافت: ۱۳۹۹/۰۵/۳۱ تاریخ پذیرش: ۱۳۹۹/۰۷/۲۲

### چکیده

بیماری کمپلکس نماد ریشه‌گرهی، *Meloidogyne javanica* و پژمردگی فوزاریومی خیار گلخانه‌ای *Fusarium oxysporum* f. sp. *radicis-cucumerinum* دستیابی به رقم مقاوم به نماد در کنترل بیماری نقش اساسی دارد. سنجش ترکیبات دفاعی گیاهی در بیماری کمپلکس در دستیابی به مکانیسم‌های مولکولی مقاومت و تولید ارقام مقاوم به نماد کمک می‌کند. به همین دلیل بعد از تلقیح گیاه به شیوه اسپکتروفوتومتری سنجش فعالیت پراکسیداز و ترکیبات فنلی در شرایط گلخانه انجام گردید. آزمایش فاکتوریل با طرح پایه کاملاً تصادفی با ۱۴ تیمار طرح‌ریزی و شامل تیمارهای شاهد، قارچ تنها، نماد تنها در چهارسطح تلقیح (۱۵۰۰، ۳۰۰۰، ۴۵۰۰ و ۶۰۰۰ لارو سن دو نماد)، قارچ+نماد به طور همزمان و تیمار تلقیح قارچ یک‌هفته بعد از تلقیح نماد با چهار تکرار بود. افزایش ۵۴/۷۴٪ و ۹۲/۳۴٪ ترکیبات فنلی و ۵۰/۶۴٪ و ۶۳/۳۱٪ میزان فعالیت پراکسیداز در تیمارهای تلقیح گیاه با قارچ به تنها و تلقیح نماد به تنها (۶۰۰۰ لارو) نسبت به شاهد نشان داد این مواد از ترکیبات دفاعی در خیار می‌باشند. نتایج نشان داد که افزایش جمعیت نماد در تلقیح گیاه در افزایش ترکیبات دفاعی تاثیر دارد. بیماری کمپلکس (تلقیح قارچ بعد از تلقیح نماد) (۶۰۰۰ لارو) منجر به افزایش ۸۰ درصدی ترکیبات فنلی و ۵۴/۴۸ درصدی فعالیت پراکسیداز نسبت به شاهد گردید که ممکن است ناشی از اثرات سینزرسیستی پاتوژن‌ها باشد. قارچ بیش از نماد در افزایش فعالیت پراکسیداز نسبت به ترکیبات فنلی نقش داشت که نشان دهنده واکنش‌های پیچیده پارازیتیسم نماد در تعامل نماد-گیاه بود. کاهش ترکیبات دفاعی در رقم نگین (حساس به فوزاریوم) و افزایش آن در ارقام خصیب (متحمل به فوزاریوم) و دستجردی (متحمل به نماد) نشان داد تولید ترکیبات دفاعی ممکن است با مقاومت خیار به عوامل بیماریزا ارتباط داشته باشند.

**واژه‌های کلیدی:** برهمکنش، پراکسیداز، ترکیبات فنلی، خیار، فوزاریوم، نماد ریشه‌گرهی

## مقدمه

(Mitchum, 2011; Portillo et al., 2013). نماتدها در بافت‌های گیاهی موجب انواع پاسخ‌های دفاعی میزان می‌شوند. این واکنش‌ها شامل تولید گونه‌های اکسیژن فعال (ROS) مثل آئیون سوپراکسید ( $O_2^-$ )، اکسیژن سینگلت ( $O_2$ )، هیدروژن پروکسید ( $H_2O_2$ ) و رادیکال هیدروکسید ( $OH^-$ ) می‌باشد (Teixeira et al., 2016; Zhou, 2018) در گیاهان شامل متابولیت‌های اولیه و متابولیت‌های ثانویه می‌باشند. متابولیت‌های اولیه گیاهی مستقیماً در رشد، نمو و یا تکثیر گیاه دخالت دارند و شامل قندها، آمینو اسیدها و اسیدهای نوکلئیک می‌باشند. متابولیت‌های ثانویه در دفاع شیمیابی گیاهان نقش دارند و شامل ترپنونئیدها، مواد فنیلی و آلکالوئیدها هستند (Arnao and Hernández-Ruiz, 2019). ترکیبات فنلی گروه بزرگی از متابولیت‌های ثانویه هستند که توسط گیاهان در دفاع در برابر پاتوژن از مسیرهای شیکمیک اسید و مالونیک اسید تولید می‌شوند. ترکیبات فنلی، ترکیبات ضد قارچی طبیعی با ساختارهای متفاوت هستند (Molinari, 1995). این ترکیبات مرتبط با دفاع شامل فلاونوئیدها، آنتی‌سیانین‌ها، فیتوآلکسین‌ها، تنین‌ها، لیگنین و فورانوکومارین‌ها می‌باشند. فلاونوئیدها یکی از بزرگترین دسته‌های مواد فنلی هستند که در ریشه آلووده به نماتد القاء می‌شوند و در ارقام مقاوم نسبت به ارقام حساس بیشتر تولید می‌شوند. فلاونوئیدها در توسعه مکان‌های تغذیه‌ای نماتد، جذب شیمیوتاکتیک نماتد به سمت ریشه و یا دفع نماتد از ریشه، در دفاع عمومی و مقاومت گیاه در برابر نماتد و در تکثیر نماتد نقش دارند (Chin, 2018; Gheysen and Mitchum, 2011; Sato, 2015). تعدادی از بررسی‌ها نشان داده که تجمع زیاد و قابل توجه ترکیبات فنلی ناشی از افزایش فعالیت فنیل آلاتین آمونیالیاز می‌تواند منجر به تقویت دفاع میزان برای

خیار (Cucumis sativus L.) یکی از مهمترین محصولات گلخانه‌ای استان یزد می‌باشد که در سال‌های اخیر به دلایلی چون خشکسالی‌های مکرر، مصرف بهینه آب در کشاورزی و صادرات محصول، کشت گلخانه‌ای آن در استان یزد گسترش یافته است به طوری که در حال حاضر این استان مقام دوم سطح زیرکشت محصولات گلخانه‌ای کشور را دارد. بیماری‌های متعددی تولید خیار گلخانه‌ای را محدود می‌کنند که در میان آنها عامل بیماری پژمردگی Fusarium oxysporum f. sp. radicis-cucumerinum و نماتد ریشه‌گرهی، Meloidogyne javanica (Treub, 1885) Chitwood, 1949 از مخربترین عوامل بیماریزای خیار گلخانه‌ای هستند (Moosavi et al., 2006; Shahriari et al., 2011). نماتدهای ریشه‌گرهی، اقتصادی‌ترین خسارت را در میان نماتدهای پارازیت گیاهی دارند و همچنین دارای پراکندگی جهانی هستند (Jones et al., 2013). شیوع و شدت این دو بیماری به‌طور همزمان و به صورت کمپلکس در سال‌های اخیر افزایش قابل توجهی داشته است (Mohamadian-Sarcheshmeh and Ahmadi, 2014). نماتدهای ریشه‌گرهی به روش‌های مختلف با میزان خود تعامل دارند. آنها با بیان ژن‌های گسترده گیاه و نماتد و تمایز مجدد سلول‌های ریشه، سلول‌های تغذیه‌ای نماتد یا سلول‌های غول‌آسا را تشکیل می‌دهند که برای توسعه و تغذیه نماتدهای ریشه‌گرهی ضروری می‌باشند (Portillo et al., 2013). نماتدهای ریشه‌گرهی (Meloidogyne spp.) ممکن است با عوامل بیماریزای گیاهی دیگر همراه شده و یک بیماری کمپلکس ایجاد کنند. آنها قادرند با تولید مولکول‌های افکتور روی پارازیتیسم نماتد و فیزیولوژی سلول گیاهی تأثیر بگذارند (Gheysen and

پراکسیداز، ترکیبات فنلی و پلی فنل اکسیداز، فنیل آلانین آمونیالیاز و تیروزین آمونیالیاز را در ریشه گیاهان قهوه، لوبيا چشم بلبلی، برنج و زیتون Eisenback, 1985; Gheysen and Mitchum, 2011; Hiraga, 2001; Hussey and Barker, 1973; Jing, 2011; Maehly and Chance, 1954; Malick, (1980; Mazzafera et al., 1989; sahebani, 2011) تغییرات در فعالیت کمی پراکسیداز در برهمکنش‌های مختلف بین قارچ *Verticilium dahliae* و نماتد *Meloidogyne javanica* در زیتون و بین نماتد *Meloidogyne javanica* و قارچ پژمردگی *Fusarium oxysporum f. sp. melonis* به ترتیب توسط Saeedizadeh و همکاران (۲۰۰۹) و Sahebani همکاران (۲۰۰۸) بررسی گردید. همچنین تغییرات کمی ترکیبات فنلی در واریته‌های خربزه در برهمکنش قارچ پژمردگی طالبی، *Fusarium Shokoohi* و *Meloidogyne javanica* همکاران (۲۰۰۳) بررسی شد. فهم پاسخ‌های دفاعی میزان در تعاملات قارچ-نماتد-گیاه به دستیابی به راهبردهای کترل بیماری کمپلکس کمک خواهد کرد (Sato, 2019). باتوجه به هزینه‌های بالای کترول شیمیایی و همچنین آلوودگی محیط زیست و نیز توسعه کشاورزی پایدار، تولید و دستیابی به ارقام مقاوم خیار به نماتد ریشه‌گرهی یکی از مهمترین روش‌های کترول این عامل بیماریزا محسوب می‌شود. تولید ارقام مقاوم به دلیل کمبود داده‌های کاربردی در بیولوژی سلولی و مولکولی در تعامل نماتد-قارچ-گیاه، عدم کشف مکانیسم‌های دقیق دفاع و مقاومت گیاهان به نماتد ریشه‌گرهی ناموفق بوده است. به طوری که امروزه ارقام موجود در بازار تجاری غالباً حساس به نماتد و یا متحمل به آن هستند که با

محدو دسازی حمله پاتوژن و حفاظت گیاه در برابر عوامل بیماریزای گیاهی شود (Mohammadi and Kazemi, 2002). به طور کلی زیرخانواده پراکسیدازها براساس ساختار به سه دسته تقسیم می‌شوند (Jin, 2011). دسته اول شامل پروتئین‌های داخل سلولی هستند که عمدتاً آب اکسیژن مازاد را سم زدایی و خنثی می‌کنند (Shigeoka, 2002). دسته دوم پروکسیدازها منحصراً باعث تجزیه بقاوی‌ای گیاهی در خاک توسط قارچ‌ها می‌شوند (Martinez, 2005). پراکسیدازهای دسته سوم در گیاهان یافت می‌شوند و شامل پیتیدهای سیگنال ان-ترمینال برای ترشح در دیواره سلولی یا واکوئل‌ها هستند. این آنزیم‌ها در فرایندهای فیزیولوژیکی و نمو گیاهان شامل اتصال عرضی اجزاء دیواره سلولی در تشکیل و تقویت دیواره سلولی و تغییر دیواره سلولی، لیگنینی شدن، چوب پنبه‌ای شدن، کاتابولیسم اکسین، اکسیداسیون فنل‌ها، تشکیل مواد دفاعی برای تقویت ساختار سلول، جلوگیری از حمله عامل بیماری، تولید اکسیژن فعال و ایجاد شرایط مضر و ناسازگار برای پاتوژن و شروع مسیرهای سیگنالینگ پایین دستی برای ایجاد مکانیسم‌های دفاعی دخالت دارند (Almagrol, 2009; Bolwell and Daudi, 2009; Cosio, 2009; Siddique et al., 2014; Simonetti, 2009; Torres, 2006). ترکیبات دفاعی گیاهان شامل ترکیبات فنلی، پراکسیداز و فعالیت آنها در تعدادی گیاهان در پاسخ به عفونت ناشی از عوامل بیماریزای قارچی و نماتد القاء می‌شوند (Gheysen and Mitchum, 2011). تغییر در ترکیبات دفاعی گیاهان و بویژه آنزیم‌های دفاعی آنها (عمدتاً پراکسیداز، پلی فنل اکسیداز، کاتالاز، سوپر اکسید دیسموتاز و پروتیاز) توسط محققین مختلف در بافت‌های گیاهی آلووده به قارچ و نماتد در واریته‌های حساس و مقاوم گیاهان مختلف بررسی شده است. براساس بازبینی مقالات گذشته، آلوودگی گیاه به نماتد ریشه‌گرهی، میزان آنزیم‌های

(Eisenback, 1985; Moosavi et al., 2006; Taylor and Netscher, 1974) جهت جمع آوری تخم، ریشه‌های آلوده به نماتد در جریان شیرآب شسته و به قطعات ۳-۲ اینچی برشید و در بطری حاوی هیپوکلریت سدیم ۰/۵٪ به مدت ۱۵ دقیقه قرار گرفتند. تخمهای جدا شده جهت حذف هیپوکلریت-با آب شیرشستشو شدند. استخراج کیسه‌های تخم از ریشه‌های گالدار صورت گرفت (Hussey and Barker, 1973). تعداد تخمهای نماتد در سوسپانسیون آبی با ظرف شمارش مشخص گردید. متوسط تعداد شمارش شده تخم به عنوان میانگین تعداد تخم در یک میلی لیتر در نظر گرفته شد. لاروهای آزمایش از کیسه‌های تخم و تخمهای نگهداری شده در ۲۲ درجه سانتی گراد بدست آمد.

**جدایه‌های قارچی:** ۱۵ جدایه قارچی از ریشه‌های آلوده خیار از گلخانه‌های خیار از استان یزد بدست آمد. هشت عدد از این جدایه‌های قارچی بر اساس آزمایشات بیماریزایی *Fusarium oxysporum f. sp. radicis-cucumerinum* داده شدند (Lesli et al., 2006; Nelson et al., 1993; Vakalounakis et al., 2005) که در محیط کشت سیب زمینی دکستروز اگار (PDA) در ۶ درجه سانتی گراد نگهداری شدند. مایه تلقیح قارچ طبق روش Vakalounakis و همکاران (۲۰۰۵) با رشد قارچ در محیط کشت مایع سیب زمینی دکستروز در فلاسک‌های ارلن مایر در شیکر چرخان برای ۷ روز در دمای ۲۰ درجه سانتی گراد بدون نور خورشید بدست آمد. بیماریزایی هر جدایه روی گیاهچه‌های مختلف خیار در مرحله سه برگی با روش غوطه‌ور سازی ریشه انجام گردید (Vakalounakis et al., 2005).

حضور قارچ و ایجاد بیماری کمپلکس شدت بیماری افزایش می‌باید. در این بررسی اثر تغییرات فعالیت کمی پراکسیداز و ترکیبات فنلی روی برهمکنش بین نماتد ریشه‌گرهی و قارچ پژمردگی خیار به صورت تلقیح نماتد و یا قارچ به تنها یی و تلقیح با فاصله و همزمان با یکدیگر و ایجاد بیماری کمپلکس بررسی شد. در بررسی حاضر تعاملات بین قارچ-نماتد-گیاه در ترکیبات سازگار و غیر سازگار عوامل بیماریزا با گیاهان در ارقام مختلف خیار حساس به قارچ فوزاریوم (رقم نگین)، خیار متحمل به نماتد ریشه‌گرهی (رقم دستجردی) و خیار متحمل به قارچ فوزاریوم (رقم خصیب) بررسی شد. این بررسی می‌تواند به شناخت و فهم بیشتر مکانیسم‌های پیچیده تعامل بین عوامل بیماریزا - گیاه در بیماری کمپلکس و در نتیجه بهره‌گیری از آن برای تولید ارقام مقاوم و دوام مقاومت آنها در شرایط کمپلکس کمک کند. این بررسی همراه با مطالعات ژنومیک و مولکولی دیگر در آینده، می‌تواند مسیر کشف مکانیسم‌های مولکولی دفاع گیاه و در نتیجه ژنهای دخیل در مقاومت گیاه خیار به نماتد و ایجاد خیارهای مقاوم به نماتد ریشه‌گرهی را تسهیل نماید.

## مواد و روش‌ها

**تهیه مایه تلقیح نماتد:** نماتد ریشه‌گرهی، *Meloidogyne javanica* به کار رفته در این بررسی از ریشه‌های خیار آلوده به نماتد از گلخانه‌های خیار در استان یزد جداسازی گردید. توده تک تخم برای تهیه و تکثیر جمعیت نماتد روی واریته روتگرز گوجه فرنگی به کاررفت. توده تخم نماتد بیشتر در گلخانه ۲۲ تا ۲۵ درجه سانتی گراد تولید شد. جدایه نماتد از طریق بررسی الگوی انتهای نماتد ماده و بر اساس ویژگی‌های مورفولوژیکی و مورفومنtri تایید و به عنوان *M. javanica* گردید.

ساییده و نرم شد. سپس یک میلی لیتر بافر نمونه فسفات سدیم  $1\text{ Molar} (\text{pH}=6)$  به آن اضافه و کاملا هموژن گردید. در تمام مدت انجام کار هاون در تشتمت یخ قرار داشت. مخلوط حاصل به میکروتیوب‌های  $1/5$  میلی لیتری منتقل شده، توسط میکروسانتریفیوژ  $13000 \text{ دور بمدت } 20 \text{ دقیقه}$  در دمای چهار درجه سانتی گراد سانتریفیوژ شد. عصاره‌ی رویی برای انجام آزمایش‌ها جدا و تا قبل از انجام آزمایش در دمای  $4-40^\circ\text{C}$  درجه سانتی گراد قرار گرفت (Reuveni, 1998). ارزیابی میزان فعالیت پراکسیداز مبراساس روش (Mohammadi and Kazemi, ۲۰۰۲) انجام شد. دو میلی لیتر مخلوط واکنش شامل مقداری از عصاره شامل  $40 \text{ میلی گرم پروتئین}$ ،  $20 \text{ میکرولیتر گوئیکول}$  و مقدار کافی بافر سیترات فسفات  $5\text{ Molar} (\text{pH}=5/4)$  دریک لوله آزمایش مخلوط گردیده، دستگاه اسپکتروفوتومتر با استفاده از این مخلوط در طول موج  $\lambda_{\text{max}}=475 \text{ nm}$  صفر شد. سپس  $10 \text{ میلی لیتر پراکسید هیدروژن } 30\%$  به مخلوط اضافه کرده و سریعاً مخلوط و تغیرات جذب نور با فواصل  $10 \text{ ثانیه}$  و به مدت  $1 \text{ دقیقه}$  اندازه گیری گردیده، فعالیت آنزیم به صورت تغییرات جذب نور در دقیقه در میلی گرم پروتئین محاسبه شد.

**ارزیابی میزان فنل کل:** میزان کل فنل ریشه توسط روش VanderMolen و همکاران (۱۹۷۷) انجام گرفت. برای بررسی تغییرات کمی ترکیبات فنلی، یک گرم ریشه تازه با  $10 \text{ سانتی متر مکعب متانول } 80\%$  در هاون کوبیده و با پارچه مململ دولایه صاف و ریشه‌های روی پارچه دو دفعه با سه میلی لیتر متانول  $80\%$  شسته شده و عصاره بدست آمده به مدت پنج دقیقه در دور  $1000 \text{ دور}$  در دقیقه سانتریفیوژ گردید و محلول قسمت فوقانی برای اندازه گیری ترکیبات فنلی استفاده شد. مقدار کل مواد فنلی در عصاره ریشه‌ها بوسیله معرف فولین اندازه گیری شده،  $0/5$

آماده‌سازی آزمایشات گلخانه‌ای: در این آزمایش از سه رقم خیار (خصیب (متحمل به فوزاریوم)، نگین (حساس به فوزاریوم) و دستجردی (متحمل به نماتد) استفاده گردید. بذرهای خیار با هیپوکلریت سدیم  $1\%$  به مدت  $5 \text{ دقیقه}$  استریل شدند و درون گلدانهای  $8 \text{ اینچی}$  حاوی خاک استریل (شامل ترکیبی از خاک گلخانه  $(30\% \text{ آرسن، } 70\% \text{ ماده آلی})$  و شن  $1:1 \text{ حجمی/حجمی}$ ) کشت گردیدند (Shokoohi et al., 2003). گیاهان در مرحله سه برگی از خاک حذف شدند و ریشه‌ها با آب شسته و با سوسپانسیون قارچ شامل  $10^7 \text{ میکروکیلیدی}$  با روش غوطه‌ورسانی ریشه تلقیح شدند (Vakalounakis et al., 2005). گیاهچه‌های خیار در مرحله سه برگی با مایه تلقیح دو عامل بیماریزا شامل مرحله لارو سن دو نماتد ( $J_2$ ) یا سوسپانسیون میکروکنیدی قارچ تلقیح شدند. همچنین گیاهان شاهد با آب استریل تلقیح شدند (Oka et al., 1999). مایه تلقیح نماتد به تعداد  $1500$ ،  $3000$ ،  $4500$  و  $6000 \text{ لارو سن دو}$  نماتد با کمک میکروپیت یک میلی لیتری درون دو چاهک نزدیک ریشه قرار گرفت (Hussey and Barker, 1973). تکرار برای هر یک از سطوح اینکولوم در نظر گرفته شد. این بررسی بر اساس آزمایش فاکتوریال با طرح پایه بلوک کامل تصادفی شامل  $45 \text{ تیمار انجام گردید}$ . در این طرح فاکتور رقم شامل سه سطح (ارقام خصیب، نگین و دستجردی) و فاکتور نماتد شامل پنج سطح ( $0, 1500, 3000, 4500$  و  $6000 \text{ لارو نماتد}$ ) و فاکتور قارچ (شامل سه سطح (عدم تلقیح قارچ، تلقیح قارچ یک هفتۀ بعد از نماتد و تلقیح همزمان قارچ و نماتد) بود. میزان ترکیبات فنلی و فعالیت پراکسیداز  $10$ ،  $20$  و  $30 \text{ روز}$  بعد از تلقیح قارچ ارزیابی گردیدند. **ارزیابی فعالیت پراکسیداز:** جهت استخراج پروتئین از بافت گیاه خیار،  $5/0 \text{ گرم}$  از بافت ریشه گیاه در هاون چینی سرد با استفاده از ازت مایع به خوبی

مورد مطالعه به طور معنی داری متفاوت هستند به کار رفت. آزمون T یک آزمون پارامتریک می باشد. آزمایشات یک مرتبه تکرار شدند. آزمون های T و لون برای برابری میانگین ها و برابری واریانس ها به کار رفته اند.

## نتایج

بررسی فعالیت ترکیبات فنلی و پراکسیداز در برهمکنش نماتد و قارچ در آزمایشات مربوط به آنزیم ها نتایج نشان داد که همه تیمارها در سطح ۵٪ در مقایسه با شاهد اختلاف معنی داری دارند. بالاترین مقدار ترکیبات فنلی و میزان پراکسیداز مربوط به تلقیح قارچ بعد از تلقیح گیاه با ۶۰۰۰ لارو نماتد بود (جدول ۱ و ۲). در میان ارقام خیار، رقم نگین کمترین مقدار ترکیبات فنلی و پراکسیداز را دارا بود. بالاترین مقدار ترکیبات فنلی مربوط به سی امین روز بعد از تلقیح قارچ بود و میزان این ترکیبات از روز ۱۰ ام تا ۳۰ ام افزایش نشان داد. میزان پراکسیداز در گیاهانی که فقط با قارچ تلقیح شده بودند افزایش یافت و به حداقل خود در روز سی ام بعد از تلقیح رسید. فعالیت پراکسیداز تا ۲۰ روز بعد از تلقیح قارچ افزایش معنی داری در تیمارهای تلقیح شده با نماتد و قارچ نشان داد و سپس تا ۳۰ امین روز بعد از تلقیح قارچ در مقایسه با تیمارهایی که فقط تلقیح قارچ به تنها بیانجام شده بود، کاهش یافت. نتایج نشان داد که حضور قارچ قادر به محدود کردن القاء پراکسیداز نبود و قارچ تاثیر بیشتری نسبت به نماتد در افزایش پروکسیداز دارد (جدول ۱). افزایش سطوح جمعیتی نماتد و تعداد اینوکولوم (ماهیه تلقیح) منجر به افزایش میزان ترکیبات فنلی و پراکسیداز گردید (شکل ۳ و ۴). در این بررسی در حضور قارچ یعنی تیمار تلقیح قارچ بعد از نماتد و تیمار تلقیح همزمان قارچ و نماتد (بیماری کمپلکس) میزان پراکسیداز نسبت به تلقیح

میلی لیتر عصاره با هفت میلی لیتر آب مقتدر در یک لوله آزمایش ریخته و محتوى لوله خوب مخلوط گردید. سپس ۵/۰ میلی لیتر معرف فوق به لوله اضافه شده و تکان داده شد. سه دقیقه بعد یک میلی لیتر کربنات سدیم اشباع به لوله اضافه شده، پس از یک ساعت مقدار جذب رنگ با طول موج ۳۰۰ نانومتر با دستگاه اسپکتروفوتومتر مدل کری ۳۰۰ خوانده شد. لوله بلانک با معرف تنها استفاده شده و برای هر نمونه عصاره، میانگین سه قرائت در محاسبات منظور گردید. بدین منظور اسید کافئیک به عنوان معیار مقایسه مورد استفاده قرار گرفته، برای تهیه محلول فنل ذخیره ۱۰۰ میلی گرم اسید کافئیک در مтанول ۸۰٪ حل و حجم این محلول به ۵۰۰ میلی لیتر رسانده شد. برای تهیه محلول استاندارد مقدار ۰، ۵، ۱۰، ۱۵، ۲۰، ۲۵ و ۳۰ میلی لیتر محلول فنل ذخیره به داخل ۷ بالن ژوژه ۵۰ میلی لیتری ریخته و حجم نهایی با آب مقتدر به ۵۰ میلی لیتر رسانده شد. در نتیجه ۵/۰ میلی لیتر از محلول های فوق به ترتیب ۰، ۵، ۱۰، ۱۵، ۲۰، ۲۵ و ۳۰ میکرو گرم اسید کافئیک را در برخواهد داشت. منحنی استاندارد برای جذب رنگ و مقدار اسید کافئیک بر حسب میکرو گرم تهیه گردید. در مراحل زمانی ۲۰، ۱۰ و ۳۰ روز پس از مایه زنی عامل بیماریزا میزان کل فنل در ریشه محاسبه و اندازه گیری شد (Shokoohi et al., 2003).

داده های آزمایش تجزیه واریانس گردیدند و مقایسه میانگین ها با آزمون چند دامنه ای دانکن با کاربرد نرم افزار آماری International IBM SPSS 22 (Bussines Machine corporation) انجام گردید. رشد و تلقیح و نمونه گیری گیاهان دوبار انجام شد و میانگین دو اندازه گیری برای آنالیز آماری به کاررفت. آزمون T مستقل برای مقایسه میانگین دو گروه مستقل (دو آزمایش) برای تعیین این که میانگین های جمعیت

(متحمل به نماد) بیشترین میزان پراکسیداز را نشان داد. مقایسه میانگین مقادیر ترکیبات فنلی و میزان پراکسیداز در برهمکنش بین نماد و قارچ در جدول ۱ و ۲ قرار گرفته است.

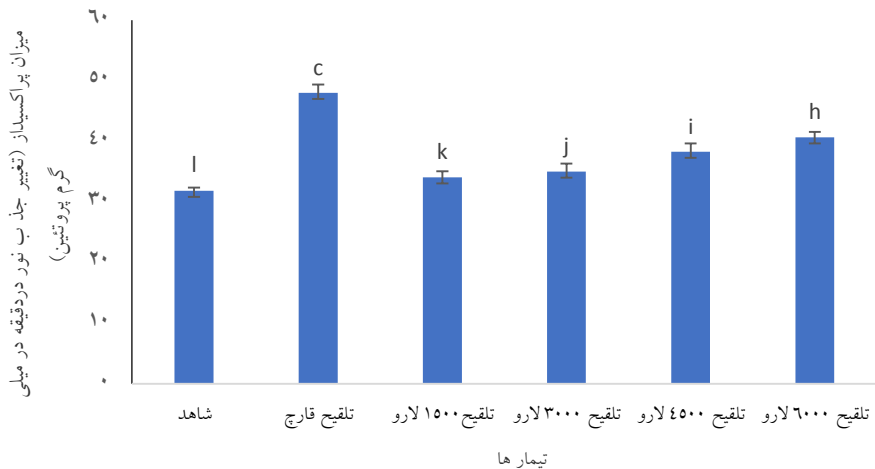
خیار با قارچ به تنهایی و با نماد به تنهایی افزایش نشان داد (شکل ۱ و ۲). در تیمار تلقیح قارچ بعد از تلقیح نماد میزان پروکسیداز و ترکیبات فنلی بیشتر از تلقیح همزمان بود. رقم خیار نگین (حساس به فوزاریوم) کمترین مقدار پراکسیداز و رقم دستجردی

**جدول ۱:** مقایسه میانگین میزان ترکیبات فنلی (میکروگرم در یک گرم وزن تر ریشه) تیمارها در برهمکنش بین قارچ پژمردگی و نماد ریشه‌گرهی *Fusarium oxysporum f. sp. radicis-cucumerinum* در ارقام خیار.

تیمارها	میزان ترکیبات فنلی (میکروگرم)									
	میزان ترکیبات فنلی (میکروگرم)					میزان ترکیبات فنلی (میکروگرم)				
	۱۰ روز بعد از تلقیح قارچ	۲۰ روز بعد از تلقیح قارچ	۳۰ روز بعد از تلقیح قارچ	دستجردی	نگین	۱۰ روز بعد از تلقیح قارچ	۲۰ روز بعد از تلقیح قارچ	۳۰ روز بعد از تلقیح قارچ	دستجردی	نگین
شاهد	۳۱۵ <sup>k</sup>	۳۰۳ <sup>i</sup>	۳۲۳ <sup>k</sup>	۵۴۲ <sup>j</sup>	۵۲۰ <sup>j</sup>	۵۲۹ <sup>i</sup>	۶۵۲ <sup>j</sup>	۵۳۴ <sup>h</sup>	۶۴۶ <sup>g</sup>	۳۰۳ <sup>i</sup>
قارچ	۵۷۵ <sup>ef</sup>	۴۳۷ <sup>d</sup>	۵۶۱ <sup>f</sup>	۸۰۷ <sup>g</sup>	۷۵۲ <sup>g</sup>	۸۷۲ <sup>f</sup>	۹۷۴ <sup>gh</sup>	۸۴۹ <sup>e</sup>	۹۶۷ <sup>e</sup>	۴۳۷ <sup>d</sup>
نماد (۱۵۰۰ لارو)	۵۷۱ <sup>f</sup>	۴۲۸ <sup>de</sup>	۵۰۹ <sup>f</sup>	۸۳۹ <sup>h</sup>	۷۲۳ <sup>h</sup>	۸۴۰ <sup>g</sup>	۹۷۵ <sup>gh</sup>	۸۵۱ <sup>e</sup>	۹۶۸ <sup>e</sup>	۴۲۸ <sup>de</sup>
نماد (۱۵۰۰ لارو) → قارچ	۶۶۵ <sup>b</sup>	۵۱۱ <sup>b</sup>	۶۶۹ <sup>b</sup>	۸۰۷ <sup>g</sup>	۷۵۷ <sup>g</sup>	۸۹۰ <sup>e</sup>	۱۱۲۲ <sup>d</sup>	۸۸۰ <sup>de</sup>	۱۰۰۹ <sup>d</sup>	۵۱۱ <sup>b</sup>
نماد (۱۵۰۰ لارو) + قارچ	۴۲۶ <sup>j</sup>	۳۱۲ <sup>gh</sup>	۴۳۱ <sup>j</sup>	۷۷۱ <sup>i</sup>	۶۲۸ <sup>i</sup>	۷۴۲ <sup>h</sup>	۸۸۱ <sup>i</sup>	۷۲۹ <sup>g</sup>	۸۷۲ <sup>f</sup>	۴۳۱ <sup>j</sup>
نماد (۱۵۰۰ لارو)	۵۸۳ <sup>ef</sup>	۴۳۰ <sup>d</sup>	۵۶۷ <sup>f</sup>	۸۶۰ <sup>g</sup>	۷۶۰ <sup>g</sup>	۸۶۹ <sup>f</sup>	۹۸۲ <sup>g</sup>	۸۶۹ <sup>de</sup>	۹۵۶ <sup>e</sup>	۴۳۰ <sup>d</sup>
نماد (۳۰۰۰ لارو) → قارچ	۶۱۱ <sup>d</sup>	۴۷۰ <sup>cd</sup>	۶۲۱ <sup>c</sup>	۹۲۰ <sup>e</sup>	۸۱۵ <sup>e</sup>	۹۰۸ <sup>e</sup>	۱۰۱۳ <sup>e</sup>	۹۳۵ <sup>d</sup>	۱۰۶۵ <sup>d</sup>	۴۷۰ <sup>cd</sup>
نماد (۳۰۰۰ لارو) + قارچ	۴۵۶ <sup>i</sup>	۳۲۴ <sup>g</sup>	۴۶۵ <sup>i</sup>	۸۰۵ <sup>gh</sup>	۷۱۴ <sup>h</sup>	۸۳۰ <sup>g</sup>	۹۵۸ <sup>h</sup>	۸۱۶ <sup>ef</sup>	۹۸۱ <sup>e</sup>	۴۶۵ <sup>i</sup>
نماد (۴۵۰۰ لارو)	۵۹۸ <sup>e</sup>	۴۶۸ <sup>cd</sup>	۵۹۴ <sup>e</sup>	۹۰۷ <sup>f</sup>	۷۸۳ <sup>f</sup>	۹۰۰ <sup>e</sup>	۱۰۰۳ <sup>ef</sup>	۸۹۵ <sup>d</sup>	۱۰۱۴ <sup>d</sup>	۴۶۸ <sup>cd</sup>
نماد (۴۵۰۰ لارو) → قارچ	۶۳۴ <sup>c</sup>	۴۸۶ <sup>c</sup>	۶۲۳ <sup>c</sup>	۱۲۳۸ <sup>b</sup>	۱۰۶۲ <sup>b</sup>	۱۲۳۷ <sup>b</sup>	۱۳۰۷ <sup>b</sup>	۱۲۱۲ <sup>b</sup>	۱۳۱۲ <sup>b</sup>	۴۸۶ <sup>c</sup>
نماد (۴۵۰۰ لارو) + قارچ	۵۲۱ <sup>h</sup>	۴۰۳ <sup>f</sup>	۵۱۸ <sup>gh</sup>	۹۰۸ <sup>f</sup>	۷۷۵ <sup>fg</sup>	۸۹۶ <sup>e</sup>	۱۰۲۱ <sup>e</sup>	۸۸۵ <sup>de</sup>	۱۰۰۷ <sup>d</sup>	۴۰۳ <sup>f</sup>
نماد (۶۰۰۰ لارو)	۶۰۹ <sup>e</sup>	۴۷۵ <sup>cd</sup>	۶۱۲ <sup>d</sup>	۱۱۰۵ <sup>c</sup>	۹۷۲ <sup>c</sup>	۱۱۶۰ <sup>c</sup>	۱۱۸۰ <sup>c</sup>	۱۰۷۰ <sup>c</sup>	۱۲۲۵ <sup>c</sup>	۴۷۵ <sup>cd</sup>
نماد (۶۰۰۰ لارو) → قارچ	۸۹۴ <sup>a</sup>	۷۱۱ <sup>a</sup>	۹۰۹ <sup>a</sup>	۱۴۹۵ <sup>a</sup>	۱۴۶۲ <sup>a</sup>	۱۶۱۰ <sup>a</sup>	۱۸۹۲ <sup>a</sup>	۱۵۹۵ <sup>a</sup>	۱۷۱۰ <sup>a</sup>	۷۱۱ <sup>a</sup>
نماد (۶۰۰۰ لارو) + قارچ	۵۳۴ <sup>g</sup>	۴۲۸ <sup>de</sup>	۵۲۶ <sup>g</sup>	۱۰۷۵ <sup>d</sup>	۹۷۷ <sup>d</sup>	۱۰۴۰ <sup>d</sup>	۱۱۴۵ <sup>cd</sup>	۱۰۳۷ <sup>c</sup>	۱۱۳۷ <sup>cd</sup>	۴۲۸ <sup>de</sup>

۱- اعداد با حروف مختلف در هر ستون در سطح ۵٪ اختلاف معنی دارند (آزمون چند دامنه‌ای دانکن)

۲- نماد → قارچ = تلقیح قارچ یک هفته بعد از تلقیح نماد، نماد+قارچ = تلقیح همزمان نماد و قارچ



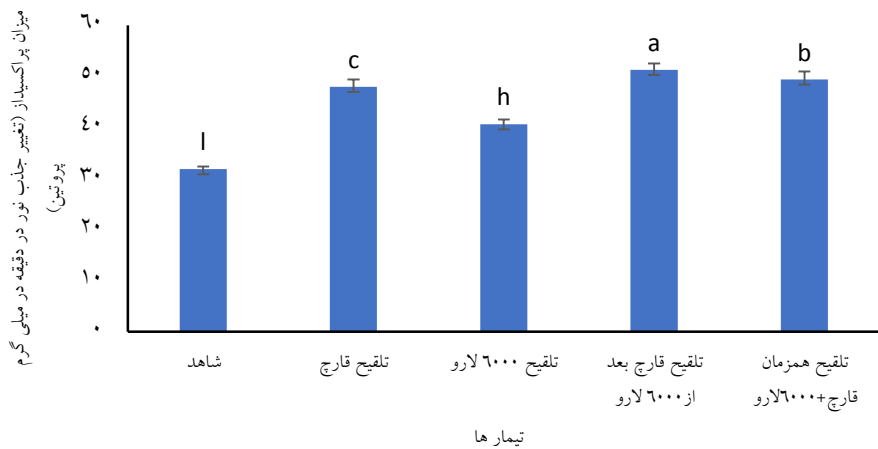
**شکل ۱:** میزان فعالیت پراکسیداز محلول (تغییر جذب نور دردقتیه در میلی گرم پروتئین) در جمعیت‌های مختلف نماد و تیمار تلقیح قارچ به تنهایی

جدول ۲: مقایسه میانگین میزان فعالیت پراکسیداز (تغییر جذب نور دردقيقة در میلی گرم پروتئین) تیمارها در برهمکنش بین قارچ پژمردگی *Meloidogyne javanica* و نماتد ریشه‌گری *Fusarium oxysporum f. sp. radicis-cucumerinum* در ارقام خیار.

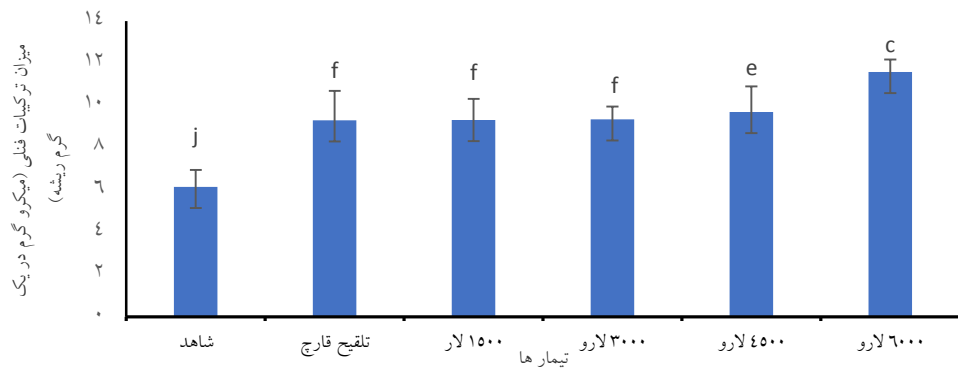
نیمارها	میزان پراکسیداز (تغییر جذب نور دردقيقة در میلی گرم پروتئین) ۲۰ روز بعد از دردقيقة در میلی گرم پروتئین) ۱۰ روز بعد از تلچیح قارچ	میزان پراکسیداز (تغییر جذب نور دردقيقة در میلی گرم پروتئین) ۲۰ روز بعد از تلچیح قارچ	میزان پراکسیداز (تغییر جذب نور دردقيقة در میلی گرم پروتئین) ۱۰ روز بعد از تلچیح قارچ	میزان پراکسیداز (تغییر جذب نور دردقيقة در میلی گرم پروتئین) ۱۰ روز بعد از تلچیح قارچ	میزان پراکسیداز (تغییر جذب نور دردقيقة در میلی گرم پروتئین) ۱۰ روز بعد از تلچیح قارچ	میزان پراکسیداز (تغییر جذب نور دردقيقة در میلی گرم پروتئین) ۱۰ روز بعد از تلچیح قارچ	میزان پراکسیداز (تغییر جذب نور دردقيقة در میلی گرم پروتئین) ۱۰ روز بعد از تلچیح قارچ
شاهد	۳۲/۱۵۰ <sup>j</sup>	۳۱/۲۰۰ <sup>n</sup>	۳۲/۱۵۰ <sup>i</sup>	۳۱/۱۵۰ <sup>m</sup>	۳۱/۲۲۵ <sup>lm</sup>	۳۱/۱۰۰ <sup>m</sup>	۳۱/۲۲۵ <sup>lm</sup>
قارچ	۵۰/۴۵۰ <sup>c</sup>	۴۴/۶۲۵ <sup>e</sup>	۴۴/۶۰۰ <sup>e</sup>	۴۵/۸۲۵ <sup>h</sup>	۴۹/۳۲۵ <sup>h</sup>	۴۵/۸۲۵ <sup>h</sup>	۴۲/۶۲۵ <sup>h</sup>
نماد (۱۵۰۰ لارو)	۳۵/۰۰۰ <sup>k</sup>	۳۳/۰۰۰ <sup>m</sup>	۳۳/۰۰۰ <sup>k</sup>	۳۴/۴۴۰ <sup>l</sup>	۳۱/۳۲۵ <sup>l</sup>	۳۴/۴۴۰ <sup>l</sup>	۳۱/۳۲۵ <sup>l</sup>
نماد (۱۵۰۰ لارو) ← قارچ	۴۷/۹۵۰ <sup>c</sup>	۴۷/۹۰۰ <sup>e</sup>	۴۷/۷۲۵ <sup>f</sup>	۴۷/۸۵۰ <sup>g</sup>	۴۷/۸۵۰ <sup>g</sup>	۴۷/۸۵۰ <sup>g</sup>	۴۵/۶۵۰ <sup>f</sup>
نماد (۱۵۰۰ لارو) + قارچ	۴۵/۸۲۵ <sup>g</sup>	۴۷/۷۰۰ <sup>g</sup>	۴۷/۸۰۰ <sup>d</sup>	۴۷/۸۰۰ <sup>h</sup>	۴۷/۸۰۰ <sup>h</sup>	۴۷/۸۰۰ <sup>h</sup>	۴۴/۶۲۵ <sup>g</sup>
نماد (۳۰۰۰ لارو)	۳۷/۴۰۰ <sup>j</sup>	۳۷/۴۰۰ <sup>j</sup>	۳۷/۴۰۰ <sup>j</sup>	۳۷/۸۲۵ <sup>k</sup>	۳۷/۸۰۰ <sup>k</sup>	۳۷/۸۰۰ <sup>k</sup>	۳۷/۸۰۰ <sup>k</sup>
نماد (۳۰۰۰ لارو) ← قارچ	۵۰/۰۰۰ <sup>cd</sup>	۴۷/۸۵۰ <sup>d</sup>	۴۹/۹۰۰ <sup>d</sup>	۴۸/۸۲۵ <sup>c</sup>	۴۳/۸۵۰ <sup>d</sup>	۴۳/۸۵۰ <sup>d</sup>	۴۳/۸۵۰ <sup>d</sup>
نماد (۳۰۰۰ لارو) + قارچ	۴۷/۳۰۰ <sup>ef</sup>	۴۷/۹۰۰ <sup>e</sup>	۴۷/۸۵۰ <sup>f</sup>	۴۷/۸۰۰ <sup>d</sup>	۴۷/۸۰۰ <sup>d</sup>	۴۷/۸۰۰ <sup>d</sup>	۴۷/۸۰۰ <sup>e</sup>
نماد (۴۵۰۰ لارو)	۳۹/۵۰۰ <sup>i</sup>	۳۷/۳۲۵ <sup>j</sup>	۳۹/۸۰۰ <sup>j</sup>	۳۸/۳۷۵ <sup>h</sup>	۳۸/۳۷۵ <sup>h</sup>	۳۸/۳۷۵ <sup>h</sup>	۳۷/۳۲۵ <sup>j</sup>
نماد (۴۵۰۰ لارو) ← قارچ	۵۰/۱۰۰ <sup>a</sup>	۴۷/۸۲۵ <sup>b</sup>	۵۱/۱۲۵ <sup>c</sup>	۵۲/۵۰۰ <sup>a</sup>	۴۸/۸۵۰ <sup>c</sup>	۴۸/۸۵۰ <sup>c</sup>	۴۷/۸۲۵ <sup>b</sup>
نماد (۴۵۰۰ لارو) + قارچ	۴۵/۷۲۵ <sup>c</sup>	۴۵/۷۲۵ <sup>d</sup>	۴۵/۷۲۵ <sup>d</sup>	۴۸/۸۸۷ <sup>c</sup>	۴۸/۸۷۵ <sup>cd</sup>	۴۸/۸۷۵ <sup>cd</sup>	۴۵/۷۲۵ <sup>c</sup>
نماد (۶۰۰۰ لارو)	۴۲/۶۰۰ <sup>h</sup>	۳۸/۱۲۵ <sup>i</sup>	۴۱/۴۵۰ <sup>i</sup>	۴۱/۵۲۵ <sup>g</sup>	۴۱/۲۲۵ <sup>i</sup>	۴۱/۲۲۵ <sup>i</sup>	۴۱/۴۵۰ <sup>i</sup>
نماد (۶۰۰۰ لارو) ← قارچ	۵۰/۱۰۰ <sup>a</sup>	۴۷/۹۲۵ <sup>a</sup>	۵۳/۳۵۰ <sup>a</sup>	۵۲/۴۵۰ <sup>a</sup>	۴۹/۸۰۰ <sup>a</sup>	۵۰/۵۰۰ <sup>a</sup>	۴۷/۹۲۵ <sup>a</sup>
نماد (۶۰۰۰ لارو) + قارچ	۴۷/۶۰۰ <sup>b</sup>	۴۷/۸۰۰ <sup>a</sup>	۵۲/۱۲۵ <sup>b</sup>	۵۱/۴۷۵ <sup>b</sup>	۴۹/۴۰۰ <sup>b</sup>	۵۳/۸۰۰ <sup>c</sup>	۴۹/۶۰۰ <sup>b</sup>

۱- اعداد با حروف مختلف در هر ستون در سطح ۵٪ اختلاف معنی داری با هم دارند (آزمون چند دامنه‌ای دانکن)

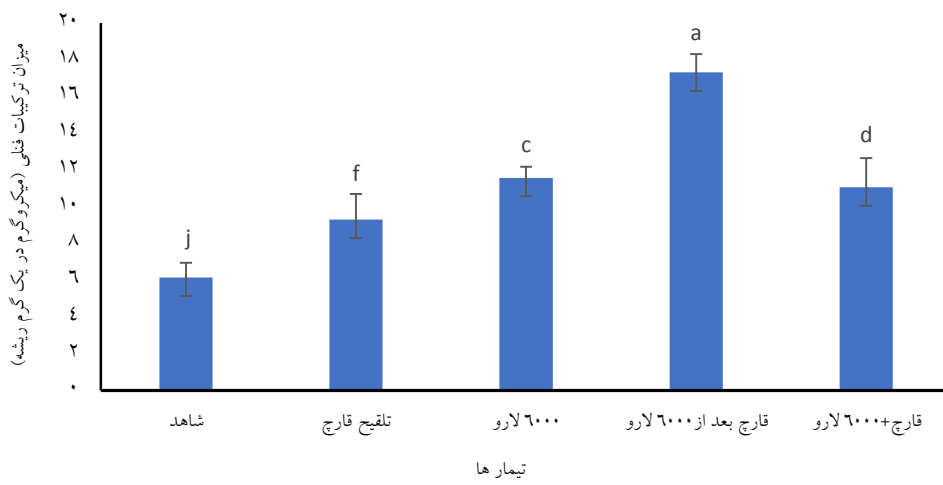
۲- نماتد ← قارچ = تلچیح قارچ یک هفته بعد از تلچیح نماتد، نماتد + قارچ = تلچیح همزمان نماتد و قارچ



شکل ۲: میزان فعالیت پراکسیداز محلول (تغییر جذب نور دردقيقة در میلی گرم پروتئین) در تیمارهای قارچ تنها، نماتد تنها (۶۰۰۰ لارو)، تلچیح همزمان قارچ و نماتد (۶۰۰۰ لارو) و تلچیح قارچ بعد از تلچیح نماتد (۶۰۰۰ لارو).



شکل ۳: میزان ترکیبات فنلی در جمعیت‌های مختلف نماتد و تیمار تلقیح قارچ به تنها بیان



شکل ۴: میزان ترکیبات فنلی در تیمارهای قارچ تنها، نماتد تنها (۶۰۰۰ لارو)، تلقیح همزمان قارچ و نماتد (۶۰۰۰ لارو) و تلقیح قارچ بعد از تقلیح نماتد (۶۰۰۰ لارو)

### تلقیح همزمان قارچ و نماتد بیشتر بود. نماتد مکان

نفرذ را برای قارچ مهیا کرده بود در نتیجه، حمله گسترده‌تری در حضور قارچ در تیمارهای تلقیح قارچ بعد از نماتد اتفاق افتاده بود. خسارت و صدمه نماتد به ریشه خیار، تشکیل مکان‌های تغذیه‌ای (سلول غول‌آسا) روی پروکامبیوم ریشه و نفوذ ریسه‌های قارچ به پوست و منطقه آوندی ریشه، علت افزایش میزان ترکیبات فنلی بود. افزایش ترکیبات فنلی و پاسخ سریع در دو رقم خصیب و دستجردی به علت تحمل رقم خصیب به قارچ و تحمل رقم خیار دستجردی به نماتد ریشه‌گرهی خیار بود. افزایش جمعیت نماتد در تیمارهای مختلف منجر به افزایش زخم‌ها و صدمات

### بحث

یکی از جنبه‌های مهم دفاع گیاهی در برابر عوامل بیماری‌زای گیاهی دفاع‌های بیوشیمیایی و واکنش‌های پیچیده آنها می‌باشد (Cao et al., 2005; Sato et al., 2019). در تلقیح قارچ بعد از نماتد، با توجه به تلقیح قارچ فوزاریوم یک هفته بعد از تلقیح نماتد میزان ترکیبات فنلی نسبت به تلقیح همزمان قارچ و نماتد افزایش نشان داد. در ابتدا با تلقیح گیاه با نماتد ترکیبات فنلی اندکی افزایش نشان دادند و یک هفته بعد که تلقیح قارچ انجام شد، مجدداً ترکیبات فنلی افزایش مجدد یافتند. در نتیجه، گیاه خیار در دو مرحله افزایش ترکیبات فنلی را نشان داد. به طور کلی این افزایش ترکیبات فنلی از افزایش ناشی از تیمار

داد. از طرف دیگر، نقش ترکیبات فنلی در گیاه‌سوزی و حساسیت بالای گیاه به آنها یا مقدارشان و نقش ترکیبات در غیرفعال سازی آنزیم‌های لیتیک آشکار شد. افزایش این ترکیبات شرایطی را ایجاد کرد که توانست در توسعه بیماری تاثیر گذار باشد. نماتد ریشه‌گرهی باعث گسترش بیشتر عفونت قارچی شد در نتیجه، متabolیت‌های قارچ وارد جریان شیره آوندی شدند و تغییراتی در بافت آوندی بخش‌های مورد حمله قارچی ایجاد کردند در نتیجه، وسعت و سطح منطقه تحریک شده، ناحیه فعال و مدت زمان تولید آن و برهمکنش فعال در دفاع‌های گیاهی منجر به افزایش ترکیبات دفاعی در گیاهان شد. محققین در تعدادی برهمکنش‌های عامل بیماری‌امیزبان واکنش‌های آنزیمی را مورد بررسی قرارداده اند (Sari et al., 2007; Sari et al., 2008; Shokoohi et al., 2003). در سال‌های اخیر، در تعدادی بررسی‌های انجام شده آنزیم‌هایی مثل پراکسیداز، بتا ۱ و ۳ گلوکاناز، بتا ۱ و ۴ گلوکاناز و ترکیبات فنلی در گیاهان میزبان به عنوان مارکرهای دفاع بیوشیمیایی مورد بررسی قرار گرفته‌اند (Sari et al., 2008). پراکسیداز اغلب در پاسخ به صدمات در گیاهان میزبان تولید می‌شود. این آنزیم با دیواره‌های سلولی در ارتباط است و در شرایط درون شیشه، سینامیل الكل را پلیمریزه می‌کند. این آنزیم در تشکیل لیگنین و باندهای عرضی بین مونومرهای اکتنسین و پلی‌ساقاریدها دخالت دارد (Niebel et al., 1993). یکی از جنبه‌های مهم دفاع گیاه میزبان در برابر عوامل بیماری‌زای گیاهی دفاع بیوشیمیایی میزبان و واکنش‌های پیچیده‌ی مرتبه با آن می‌باشد. از زمانی که تعدادی بررسی‌ها روی فعالیت پراکسیداز طی برهمکنش عامل بیماریزا – میزبان انجام شده، محققین بر این باورند که این آنزیم نقش مهمی در واکنش‌های دفاعی گیاه بازی می‌کند (Maehly and chance,

ناشی از نفوذ و توسعه نماتد در بافت‌های گیاهی شد درنتیجه افزایش جمعیت نماتد منجر به افزایش ترکیبات فنلی گردید. افزایش ترکیبات فنلی در روز ۲۰ام بعد از تلقیح قارچ نسبت به روز ۱۰ام و همچنین افزایش این ترکیبات در روز ۳۰ام نسبت به روز ۲۰ام ناشی از افزایش فعالیت و توسعه قارچ و نماتد در بافت‌های گیاهی بود. افزایش ترکیبات فنلی در روز ۲۰ام بعد از تلقیح قارچ نسبت به روز ۱۰ام و همچنین افزایش این ترکیبات در روز ۳۰ام نسبت به روز ۲۰ام ناشی از افزایش فعالیت و توسعه قارچ و نماتد در بافت‌های گیاهی بود. همچنین افزایش ترکیبات فنلی در محدوده زمانی ذکر شده می‌تواند ناشی از افزایش سن گیاه در محدوده‌های زمانی فوق باشد. میزان ترکیبات فنلی و پروکسیداز در بافت تلقیح شده خیار بیشتر از بافت‌های سالم و یا شاهد بود. این نشان می‌دهد که ترکیبات فنلی و پروکسیداز در دفاع گیاهی و مقاومت میزبانی دخالت دارند. VanderMolen و همکاران (۱۹۹۷) پیشنهاد کردند که بیماری‌زایی عمدتاً بستگی به زمان و مدت پاسخ گیاهی دارد. یکی از واکنش‌های مهم گیاهان در برابر عوامل بیماری‌زای گیاهی تولید و افزایش مواد فنلی در گیاهان است (Dhakshinamoorthy et al., 2014; Sari et al., 2007) خسارت سریع به سلول‌ها می‌تواند منجر به آزاد شدن سریع ترکیبات‌فنلی و فعال‌سازی آنها شود و از نفوذ عوامل بیماری‌زای گیاهی جلوگیری کند (Sundararaju and Suba, 2006). از طرف دیگر اگر خسارت به سلول‌ها و رهایی ترکیبات فنلی و فعالیت آنها کند و تدریجی باشد، سرانجام منجر به توسعه عوامل بیماری‌زای گیاهی و ظهور علایم می‌شود (Addabbo et al., 2013). در این بررسی توسعه همزمان و افزایش نفوذ عامل بیماریزا به گیاه، ترکیبات فنلی تولید شده بواسطه حمله این عوامل را افزایش

محدود کننده پروکسیداز می‌باشد که این ترکیبات با ارتباط پیشرفت‌های انگلی نمایند با میزان ارتباط دارد.

### نتیجه‌گیری نهایی

نتایج این تحقیق نشان داد پراکسیداز و ترکیبات فنلی از ترکیبات و آنزیم‌های دفاعی در خیار می‌باشند زیرا میزان آنها در تیمارهای تلقیح شده با قارچ و یا نمایند به تنها و یا ترکیبی از هر دو عامل بیماریزا به صورت کمپلکس نسبت به گیاه شاهد (بدون تلقیح پاتوژن) افزایش نشان داد. حضور قارچ فوزاریوم تاثیر بیشتری نسبت به نمایند ریشه‌گرهی در تولید پراکسیداز داشت. اما در افزایش ترکیبات فنلی حضور نمایند تاثیر بیشتری داشت. تعداد و جمعیت نمایند ریشه‌گرهی در تلقیح گیاه در تولید و میزان فعالیت پراکسیداز و ترکیبات فنلی اثر گذاشت در نتیجه هر چه مایه تلقیح بیشتر گشت ترکیبات دفاعی بیشتری تولید شد و تعداد آنها با میزان ترکیبات رابطه مستقیم داشت. مقدار بالای فعالیت پراکسیداز و ترکیبات فنلی در بیماری کمپلکس، تیمار تلقیح قارچ بعد از نمایند (۶۰۰۰ لارو) رابطه سینرژیستی بین دو پاتوژن نمایند ریشه‌گرهی و قارچ فوزاریوم را اثبات نمود در نتیجه در بیماری‌های کمپلکس میزان ترکیبات دفاعی افزایش یافت. در تلقیح قارچ به تنها و رقم نگین (حساس به فوزاریوم) کمترین میزان پراکسیداز و ترکیبات فنلی را نشان داد و رقم خصیب (متتحمل به فوزاریوم) بیشترین ترکیبات فنلی را در تلقیح قارچ به تنها داشت. در تلقیح با نمایند تنها (۶۰۰۰ لارو) رقم دستجردی (متتحمل به نمایند) بیشترین میزان ترکیبات فنلی و پراکسیداز را نشان داد. در نتیجه چون میزان پراکسیداز و ترکیبات فنلی در ارقام متتحمل و حساس خیار به نمایند و قارچ با یکدیگر تفاوت معنی‌داری داشتند می‌توان ارتباط این ترکیبات دفاعی با مقاومت

(Sahebani et al., 2008). در این بررسی، ابتدا تلقیح نمایند منجر به افزایش پراکسیداز گردید و تلقیح قارچ یک‌هفته بعد از تلقیح نمایند، منجر به نفوذ و توسعه قارچ گردید در نتیجه، از روز ۱۰ ام تا روز ۲۰ ام بعد از تلقیح قارچ، پراکسیداز افزایش یافت. برهمکنش و رقابت بین قارچ و نمایند در پوست ریشه و منطقه استوانه مرکزی علت افزایش فعالیت پراکسیداز از روز ۱۰ ام تا روز ۲۰ ام بود. افزایش در پراکسیداز در روزهای اولیه می‌تواند با تشکیل سلول غول‌آسا در ریشه خیار و نفوذ نمایند و شروع و آغاز عفونت مرتبط باشد. در مکان‌های تغذیه‌ای نمایند، برهمکنش مستقیم بین دو بیمارگر شامل، نفوذ قارچ و تجمع داخل گالهای می‌تواند مشاهده شود. همچنین تکثیر بیش از حد سلول میزان توسط فرایندهای طبیعی تشکیل سلول و تقویت دیواره سلولی و ترکیب اجزا آن بویژه لیگنین و سلولز را به تاخیر می‌اندازد. در مقایسه با سلول‌های نرمال، آلدگی‌های قارچی می‌توانند به آسانی در چنین سلول‌هایی انجام شوند. در بررسی حاضر پراکسیداز در روز ۳۰ ام بعد از تلقیح قارچ نسبت به روز ۲۰ ام در همه تیمارها و سطوح جمعیتی نمایندها و در همه ارقام خیار، کاهش یافت. این کاهش می‌تواند به علت افزایش سن گیاه میزان، اختلالات فیزیولوژیکی در گیاه و آماده‌شدن گیاه برای ورود به مرحله گلدهی باشد. چرا که گیاه خیار گلخانه‌ای در فواصل زمانی ۳۵ تا ۴۵ روز وارد فاز گلدهی و میوه‌دهی می‌شود. همچنین در ۲۰ امین روز بعد از تلقیح قارچ بیشترین نفوذ و توسعه قارچ و نمایند اتفاق افتاد و اندکی بعد از ان ثابت شد. در روز ۳۰ ام بعد از تلقیح نسبت به روز ۲۰ ام تلقیح با نمایند منجر به کاهش پروکسیداز گردید ولی تلقیح با قارچ افزایش پروکسیداز را باعث شد این نشان می‌دهد نمایند قادر به القاء سنتز ترکیبات

بویژه ایجاد ارقام کاملا مقاوم به نماتد و قارچ در بیماری کمپلکس باشند که در حال حاضر در بازار تجاری بذر وجود ندارند.

و تحمل و یا حساسیت به دوپاتوژن را اثبات نمود لذا در آینده ترکیبات فنلی و پروکسیداز و ترکیبات دفاعی مشابه می‌توانند ابزار سودمندی برای رسیدن به مکانیسم‌های دقیق مولکولی مقاومت به پاتوژن‌ها و

## References

- Anterola, A. and Lewis, N.G. (2002).** Trends in lignification: a comprehensive analysis of the facts of genetic manipulations/mutations on lignification and vascular integrity. *Phytochemistry*. 61: 221-294.
- Arnao, M.B. and Hernández-Ruiz, J. (2019).** Melatonin: a new plant hormone and/or a plant master regulator?. *Trends in Plant Science*, 24(1): 38-48.
- Bolwell, G.P. and Daudi, A. (2009).** Reactive oxygen species in plant-pathogen interactions. In *Reactive oxygen species in plant signaling*. (pp. 113-133). Springer, Berlin, Heidelberg
- Cao, J., Jiang, W. and He, H. (2005).** Induced resistance in yali pear (*Pyrus bretschneideri* Rehd.) fruit against infection by *Penicillium expansum* by postharvest infiltration of acibenzolar-S-methyl. *Journal of Phytopathology*. 153: 640-646.
- Chin, S., Behm, C.A. and Mathesius, U. (2018).** Functions of flavonoids in plant-nematode interactions. *Planta*, 7(4): 85.
- Cosio, C., Vuillemin, L., De Meyer, M., Kevers, C., Penel, C. and Dunand, C. (2009).** An anionic class III peroxidase from zucchini may regulate hypocotyl elongation through its auxin oxidase activity. *Planta*, 229(4): 823-836
- D'Addabbo, T., Carbonara, T., Argentieri, M., Radicci, V., Leonetti, P. and Villanova, L. (2013).** Nematicidal potential of *Artemisia annua* and its main metabolites. *European Journal of Plant Pathology*. 137(2): 295-304.
- Dhakshinamoorthy, S., Mariama, K., Elsen, A. and De Waele, D. (2014).** Phenols and lignin are involved in the defence response of banana (*Musa*) plants to *Radopholus similis* infection. *Nematology*, 16: 565-576.
- Eisenback, J.D. (1985).** Detailed morphology and anatomy of second-
- stage juveniles, males, and females of the genus *Meloidogyne* (root-knot nematodes). An advanced treatise on *Meloidogyne*, 1: 47-77.
- Gheysen, G. and Mitchum, M.G. (2011).** How nematodes manipulate plant development pathways for infection. *Current Opinion on Plant Biology*. 14(4): 415-421.
- Hiraga, S. (2001).** A large family of class III plant peroxidases," *Plant Cell and Physiology*. 42: 462-468.
- Hussey, R.S. and Barker, K.R. (1973).** Comparison of methods of collecting inocula of *Meloidogyne* spp., including a new technique, *Plant Disease Reporters*. 75: 1025-1028.
- Jones J.T., Haegeman A., Danchin E.G., Gaur H.S., Helder J., Jones M.G. and Perry, R.N. (2013).** Top 10 plant-parasitic nematodes in molecular plant pathology. *Mol. Plant Pathology*. 14: 946-961.
- Kadota, Y., Shirasu, K. and Zipfel, C. (2015).** Regulation of the NADPH oxidase RBOHD during plant immunity. *Plant Cell Physiology*. 56(8): 1472-1480.
- Maehly, A.C. and Chance, B. (1954).** The assay of catalases and peroxidases., Methods of biochemical analysis. 1: 357-424.
- Malik, C.P. and Singh, M B. (1980).** *Plant Enzymology and Histo Enzymology*. Kalyani Publishers. New Delhi. 286pp
- Mazzafera, P., Gonçalves, W. and Fernandes, J. (1989).** Phenols, peroxidase and polyphenol oxidase in the resistance of coffee to *Meloidogyne incognita*. *Bragantia*. 48: 131-142.
- Mishra, C. and Mohanty, K. (2007).** Role of phenolics and enzymes in imparting resistance to rice plants against root-knot nematode, *Meloidogyne graminicola*, *Indian journal of Nematology*. 37: 131-134.

- Mohamadian-Sarcheshmeh, M. and Ahmadi, A. (2014).** The 1st international conference on new ideas in agriculture, The 1st international conference on new ideas in agriculture. p. 658.
- Mohammadi, M. and Kazemi, H. (2002).** Changes in peroxidase and polyphenol oxidase activities in susceptible and resistant wheat heads inoculated with *Fusarium graminearum* and induced resistance, Plant Sciences. 162: 401-408.
- Molinari, S. (1995).** Role of oxidative and peroxidative processes in the plant-nematode interaction. Nematologia Mediterranea. 23: 69-73.
- Moosavi, S.S., Karegar, A. and Deljoo, A. (2006).** Responses of some common cucumber cultivars in Iran to root-knot nematode, *Meloidogyne incognita*, under greenhouse conditions. Iranian Journal of Plant Pathology. 42: 37-50.
- Morkunas, I. and Gmerek, J. (2007).** The possible involvement of peroxidase in defense of yellow lupine embryo axes against *Fusarium oxysporum*, Journal of Plant Physiology. 164: 185-194.
- Niebel, A., Almeida, J. D., Tire, C., Engler, C., Van Montagu, G. and Gheysen, G. (1993).** Induction Patterns of an extensin gene in tobacco upon nematode infection., Plant Cell. 5: 1697-1710.
- Noel, G.R. and McClure, M.A. (1987).** Peroxidase and 6-Phosphogluconate Dehydrogenase in resistant and susceptible cotton infected by *Meloidogyne incognita*. Journal of Nematology. 10: 34-38.
- Oka, Y., Cohen, Y. and Spiegel, Y. (1999).** Local and systemic induced resistance to the root-knot nematode in tomato by DL-  $\beta$ -amino- n -butyric acid. Phytopathology. 89: 1138-1143.
- Ones, J.T., Haegeman, A., Danchin, E.G., Gaur, H.S., Helder, J. and Jones, M.G. (2013).** Top 10 plant-parasitic nematodes in molecular plant pathology. Molecular Plant Pathology. 14(9): 946-961.
- Patel, B.A., Patel, D.J., Patel, N.B. and Patel, R.G. (2001).** Determination of damaging threshold level of root-knot nematode *Meloidogyne javanica* pathotype 1 on chickpea, Int. Chickpea Pigeonpea Newsletter. 8: 9-11.
- Pegard, A., Brizzard, G., Fazari, A., Soucaze, O., Abad, P. and Djian-Caporalino, C. (2005).** Histological characterization of resistance to different root-knot nematode species related to phenolics accumulation in *Capsicum annuum*. Phytopathology. 95: 158-165.
- Portillo, M., Cabrera, J., Lindsey, K., Topping, J., Andrés, M. F., Emiliozzi, M. and Resnick, N. (2013).** Distinct and conserved transcriptomic changes during nematode-induced giant cell development in tomato compared with *Arabidopsis*: a functional role for gene repression. New Phytologist, 197(4): 1276-1290
- Qin, X. and Xiaoyan, Z. (2008).** The relationship between resistance to *Meloidogyne incognita* and phenyl propanes in roots of egg plant rootstock, Acta Phytophylacica Sinica. 35 : 43-46.
- Reuveni, M. (1998).** Relationships between leaf age, peroxidase and beta-1,3-glucanase activity, and resistance to downy mildew in grapevines. Journal of Phytopathology. 146: 525-530.
- Saeedizadeh, A., Kheiri, A., Zad, J. and Etebarian, H.R. (2009).** A Study of the changes in total Phenol content in olive cultivars during the interaction between *Verticillium* wilt, *Verticillium*, and nematode. Iranian Journal Plant Protection Science. 42: 125-135.
- Sahabani, N., Zad, J., Sharifitehrani, A. and Kheiri, A. (2008).** A study of changes in peroxidase activity in the interaction between root-knot nematode (*Meloidogyne javanica*) and tomato Fusarium wilt agent (*Fusarium oxysporum* f. sp. *lycopersici*), Tehran University. College of Agriculture. 39: 127-138.
- Sari, E., Etebarian, H. R. and Aminian, H. (2008).** Effects of *Pseudomonas fluorescens* CHA0 on the Resistance of wheat seedling roots to the take-all fungus *Gaeumannomyces graminis* var. *tritici*. Plant Protection Science. 11: 298-306.
- Sari, E., Etebarian, H. R. and Aminian, H. (2007).** The effects of *Bacillus pumilus*, isolated from wheat rhizosphere, on resistance in wheat

- seedling roots against the take-all fungus, *Gaeumannomyces graminis* var. *tritici*. Jurnal of Phytopathology. 155: 720–727.
- Sato, K., Kadota, Y. and Shirasu, K. (2019).** Plant immune responses to plant parasitic nematodes. Frontiers in plant science, 10: 1165.
- Shahriari D., Molavi, E., Aminian, H. and Etebarian, H.R. (2011).** Histopathological response of resistant and susceptible cultivars of cucumber to *Fusarium oxysporum* f. sp. *radicans-cucumerinum*, the causal agent of fusarium stem and root rot. Seed Plant Improvement Journal. 27: 375–391.
- Shigeoka, S., Ishikawa, T., Tamoi, M., Miyagawa, Y., Takeda, T., Yabuta, Y. and Yoshimura, K. (2002).** Regulation and function of ascorbate peroxidase isoenzymes. Journal of Experimental Botany, 53(372): 1305-1319
- Shokoohi, E., Kheiri, A., Etebarian, H.R. and Roostaei, A. (2003).** Interactions between root-knot nematode *Meloidogyne javanica* and Fusarium wilt disease, *Fusarium oxysporum* f. sp. *Melonis* in different varieties of melon. Communication in Agriculture Applied Biology Sciences. 69: 387–391.
- Siddique, S., Matera, C., Radakovic, Z.S., Hasan, M.S., Gutbrod, P., Rozanska, E. and Grundler, F.M. (2014).** Parasitic worms stimulate host NADPH oxidases to produce reactive oxygen species that limit plant cell death and promote infection. Science Signaling, 7(320): ra33-ra33.
- Singh, R.K. (2003).** Studies on and predacity and biocontrol potential of *Arthrobotrys oligospora*. Ph.D Thesis. Banaras Hindu University. Varanasi, India. 353pp.
- Sundararaju, P. and Suba, K. (2006).** Biochemical and molecular changes in banana plants induced by *Pratylenchus coffeae* and *Meloidogyne incognita*, Indian Journal of Nematology. 36: 256-259.
- Tarek Hewezi, J.J. and Baum, T.J. (2011).** Arabidopsis peroxidase AtPRX53 influences cell elongation and susceptibility to *Heterodera schachtii*. Plant Signaling and Behavior, 6: 1778-1786.
- Taylor, D. and Netscher, C. (1974).** An improved technique for preparing perineal patterns of *Meloidogyne* spp. Nematologica. 20: 268-269.
- Teixeira, M.A., Wei, L. and Kaloshian, I. (2016).** Root-knot nematodes induce pattern-triggered immunity in *Arabidopsis thaliana* roots. New Phytopathology. 211(1): 276–287.
- Torres, M.A., Jones, J.D. and Dangl, J.L. (2006).** Reactive oxygen species signaling in response to pathogens. Plant Physiology. 141(2): 373–378.
- Vakalounakis D.J., Doulis, A.G. and Klironomou, E. (2005).** Characterization of *Fusarium oxysporum* f. sp. *radicans-cucumerinum* attacking melon under natural conditions in Greece. Plant Pathology. 54: 339–346
- VanderMolen, G.E., Beckman, C. H. and Rodehorst, E. (1977).** Vascular gelation: a general response phenomenon following infection. Physiological Plant Pathology. 11(1): 95-100
- Whitehead, A.G. and Hemming, J.R. (1965).** A comparison of some quantitative methods of extracting small vermiform nematodes from the soil, Annual Applied Biology. 55: 25–38.
- Wong, E. (1973).** Plant phenolics, Chemistry and Biochemistry of Herb. 1: 265–322.
- Yang, S., Dai, Y., Chen, Y., Yang, J., Yang, D. and Liu, Q. (2019).** A novel G16B09-like effector from *Heterodera avenae* suppresses plant defenses and promotes parasitism. Frontier Plant Science. 10: 66.
- Zacheo, G., Blevezacheo, T., Pacoda, C., Orlando, D. and Durbin, R. D. (1995).** The Association between Heat-Induced Susceptibility of Tomato to *Meloidogyne-Incognita* and Peroxidase-Activity. Physiology and Molecular Plant Pathology. 46: 491–507.
- Zhou, J., Xu, X.C., Cao, J.J., Yin, L.L., Xia, X.J. and Shi, K. (2018).** Heat shock factor HsfA1a is essential for *R* gene-mediated nematode resistance and triggers H<sub>2</sub>O<sub>2</sub> production. Plant Physiology. 176(3): 2456–2471.

## Biochemical defense response of the greenhouse cucumber (*Cucumis sativus L.*) to complex disease caused by a root-knot nematode and *Fusarium* wilt fungus

Mehdi Mohamadian Sarcheshmeh<sup>1</sup>, Saeed Rezaee<sup>1\*</sup>, Alireza Iranbakhsh<sup>2</sup>

<sup>1</sup>Department of Plant Protection, Faculty of Agricultural Sciences and Food Industries,  
Islamic Azad University, Science and Research Branch, Tehran, Iran

<sup>2</sup>Department of Biology, Faculty of Basic Sciences, Islamic Azad University, Science  
and Research Branch, Tehran, Iran

Received date: 2020/08/21      Accepted date: 2020/10/13

### Abstract

Complex disease caused by the root-knot nematode, *Meloidogyne javanica*, and the fungus, *Fusarium oxysporum* f. sp. *radicis-cucumerinum*, has limited cucumber cultivation in Iran. Therefore, access to the nematode-resistant cultivars has a crucial role in disease control. The Assessment of plant defense compounds in the Complex disease helps understand the molecular mechanisms of resistance and the production of nematode-resistant cultivars. After inoculation of the plants in a greenhouse, the peroxidase enzyme and the phenolic compounds were measured using spectrophotometric method. The experiment was conducted based on a factorial completely randomized designed with 14 treatments, including control, fungi alone, nematode alone in four inoculations level viz. 1500, 3000, 4500, and 6000 J2s, fungus + nematode simultaneously, and fungus a week after nematode inoculation with 4 replications. Phenolic compounds increased by %54.74 and %92.34 and peroxidase enzyme activity increased by %50.64 and %63.31 in plants inoculated with fungus alone and nematode alone (6000 larvae) compared to the control, showing that these substances act as defensive compounds in cucumber. Results showed that increasing the nematode population in inoculated plants improved the defense compounds levels. Inoculation of nematode (6000 larvae) followed by fungus led to %80 and %54.48 increases in phenolic compounds and peroxidase activity, respectively as compared with the control which might be attributed to the synergistic effects of pathogens. The fungi had a more active role than nematodes in increasing the peroxidase compared to the phenolic compounds, which indicated the complex nature of nematode parasitism in the nematode-plant interaction. Decrease in the defense compounds in Negin cultivar (susceptible to Fusarium) and increase in the level of these compounds in Khasib (tolerant to Fusarium) and Dastjerdi (tolerant to nematode) cultivars showed that the production of the defensive compounds may be related to the cucumber resistance to pathogens.

**Keywords:** Cucumber, *Fusarium oxysporum* f.sp. *radicis-cucumerinum*, Interaction, *Meloidogyne javanica*, Root-knot nematode, Peroxidase, Phenolic compounds.

\*Corresponding author; srezaee@srbiau.ac.ir